

Représentation et analyse de formes

Yann GOUSSEAU
Télécom Paris - IP Paris

- Représentations globales, moments invariants
- Frontière et rôle de la courbure
- Formes paramétriques : Hough, Ransac

Au prochain cours :

- Points clé et descripteurs locaux (SIFT)
- Introduction à la détection d'objets par réseaux de neurones

Descripteurs de formes

- Pour une forme $A \subset \mathbb{R}^2$, on s'intéresse à des descripteurs numériques :

$$\Phi : \mathcal{P}(\mathbb{R}^2) \rightarrow \mathbb{R}^p$$

invariants à certaines transformations géométriques

→ prise en compte des variabilités de pose lors de l'acquisition de l'image

- Φ est invariant à T si

$$\Phi(T.A) = \Phi(A)$$

- On considère typiquement : translations, rotation, zoom, transformations affines.
- Une transformation affine est une application du plan dans lui-même définie par

$$X \rightarrow M.X + P$$

avec M une matrice inversible et P un vecteur

C'est une bonne approximation d'un changement de point de vue léger sur une scène plane.

Exemples de descripteurs globaux élémentaires :

- Périmètre $P(A)$, surface $S(A)$, rapport isopérimétrique

$$R = \frac{4\pi S(A)}{P(A)^2}$$

- Diamètre

$$\sup_{x,y \in A} d(x,y)$$

- Boîtes englobantes (axes fixes ou adaptatifs)

- Symétrie

$$\frac{S(A)}{S(A \cup \check{A})}, \text{ avec } \check{A} = \{-x : x \in A\}$$

$$m_{p,q} = \int_A \int_A (x - x_c)^p (y - y_c)^q dx dy,$$

avec (x_c, y_c) coordonnées du centre d'inertie de la forme :

$$x_c = \frac{1}{S(A)} \int_A \int_A x dx dy$$

$$y_c = \frac{1}{S(A)} \int_A \int_A y dx dy$$

En discret \rightarrow somme sur les pixels

Utilisation la plus standard :

$$\Sigma = \begin{pmatrix} m_{2,0} & m_{1,1} \\ m_{1,1} & m_{0,2} \end{pmatrix}$$

- Valeurs propres $\lambda_1 \geq \lambda_2$: information sur la taille et l'allongement
- Angle du vecteur propre associé à λ_1 : orientation
- Représentation par une ellipse

Pour être plus discriminant : augmentation de $p, q \rightarrow$ problème de robustesse

- Normalisation pour une invariance au zoom (changement d'échelle) :

$$n_{p,q} = \frac{m_{p,q}}{m_{0,0}^{\alpha}}, \text{ avec } \alpha = \frac{1}{2}(p+q)+1.$$

En effet : si $A \rightarrow kA$ alors $m_{p,q} \rightarrow m_{p,q}k^{p+q+2}$.

- Normalisation supplémentaire pour les rotations :

$$h_1 = n_{2,0} + n_{0,2} \text{ et } h_2 = (n_{2,0} - n_{0,2})^2 + 4n_{1,1}^2,$$

ou autre combinaison trace-déterminant de

$$S = \begin{pmatrix} n_{2,0} & n_{1,1} \\ n_{1,1} & n_{0,2} \end{pmatrix}$$

+ compliqué pour les ordres supérieurs

$$h_3 = (n_{3,0} - n_{0,3})^2 + (n_{0,3} - 3n_{2,1})^2,$$

etc.

- Alternative pour le second ordre :

Soient $\alpha_1 > \alpha_2$ les v.p. de S

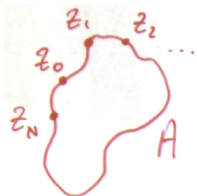
Elongation $e = \alpha_2/\alpha_1$:

Compacité $\kappa = \frac{1}{4\pi\sqrt{\alpha_1\alpha_2}}$

- Propriétés :

- $0 \leq e, \kappa \leq 1$
- e invariant aux rotations
- κ invariant aux transformations affines.

Descripteurs de Fourier



- La forme A est codée par son contour $Z_v = x_v + iy_v$, pour $v = 0, \dots, N - 1$ dont la transformée de Fourier discrète (TFD) est

$$\hat{Z}_k = \frac{1}{N} \sum_{v=0}^{N-1} Z_v \exp(-2i\pi kv/N),$$

pour $k = -\frac{N}{2} + 1, \dots, \frac{N}{2}$

- On utilise comme descripteurs : $(\hat{Z}_{-N/2+1}, \dots, \hat{Z}_{N/2})$, ou un sous-ensemble de ces valeurs.
- Remarque : il existe de nombreux autres descripteurs de Fourier reposant sur des principes similaires

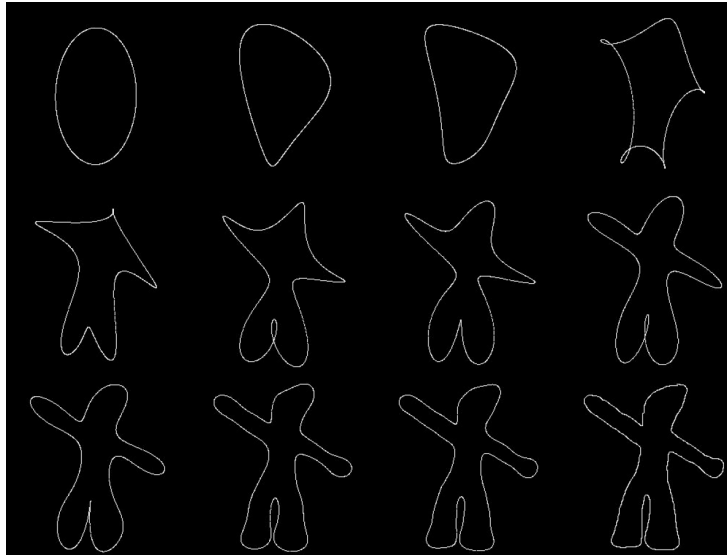
$$\hat{Z}_k = \frac{1}{N} \sum_{v=0} Z_v \exp(-2i\pi kv/N),$$

Propriétés

- \hat{Z}_0 est le barycentre de A
- pour $k \neq 0$, \hat{Z}_k est invariant par translation
en effet :
si $A \rightarrow A + C$, alors pour tout v , $Z_v \rightarrow Z_v + C$, donc

$$\hat{Z}_k \rightarrow \hat{Z}_k + \sum_{v=0} \sum C \exp(-2i\pi kv/N) = \hat{Z}_k$$

- les $|\hat{Z}_k|$ sont invariants par rotation
- on obtient une invariance par zoom en divisant les descripteurs par $|\hat{Z}_1|$



Haut : 1,2,3,4 coeff. Milieu : 5,6,7,8, coeff. Bas : 10, 20, 30, 1257 coeff.
Extrait de Ruye Wang, *Introduction to orthogonal transforms*, 2010

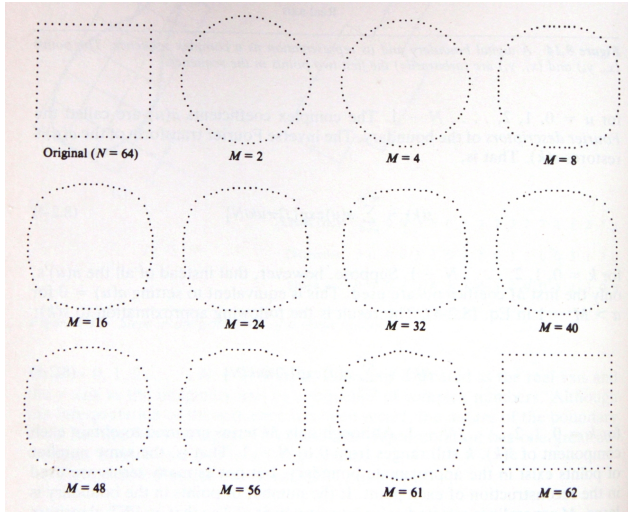


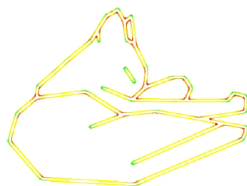
Figure 8.15 Examples of reconstructions from Fourier descriptors for various values of M .

Extrait de Gonzalez et Woods *Digital Image Processing*
... les points de forte courbure sont difficiles à reproduire.

Importance de la courbure



(a). Attneave's cat



(b). Curvature map.

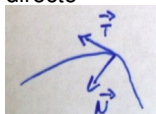
Expérience de F. Attneave (1954) : 38 points de courbure maximale
(extrait de Ciomaga et al. 2011)

Rappels mathématiques sur les courbes planes

- $C : [a, b] \rightarrow \mathbb{R}^2$ est une **courbe de Jordan**
si $C(p_1) \neq C(p_2)$ pour $p_1 \neq p_2$.



- le choix de la fonction C pour représenter une courbe n'est pas unique (différentes **paramétrisations**)
- $L(a, p)$: longueur de C entre a et p
la paramétrisation est dite **euclidienne** si $\frac{dL}{dp} = 1$
- Si C est 2 fois différentiable et $C'(p) \neq 0$
le vecteur tangent est $\vec{T} = \frac{C'(p)}{|C'(p)|}$
le vecteur normal \vec{N} est tel que (\vec{T}, \vec{N}) soit une base orthonormée directe



- **courbure**

$\exists k$ tel que

$$\frac{1}{|C'|} \frac{d\vec{T}}{dp} = k\vec{N}$$

et k est indépendant de la paramétrisation
 $k\vec{N}$ s'appelle le vecteur courbure

- cas d'une paramétrisation euclidienne :

$$\vec{T} = C'(s),$$

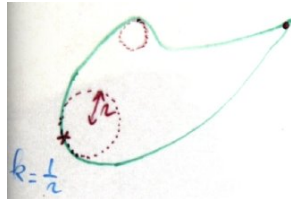
$$\frac{d\vec{T}}{ds} = k\vec{N} = C''(s)$$

(car $L(a, p) = \int_a^p |C'(u)|du$, donc $|C'(s)| = 1$.

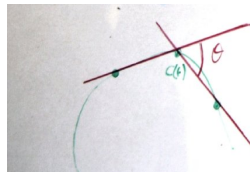
- en notant $C(p) = (x(p), y(p))$, on a

$$k = \frac{y''x' - x''y'}{(x'^2 + y'^2)^{3/2}}$$

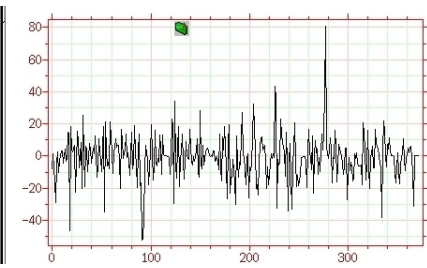
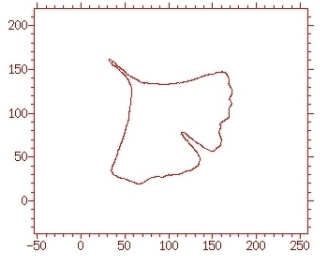
- la courbure vérifie $k(p) = r(p)^{-1}$, où $r(p)$ est le rayon du cercle qui approche le mieux la courbe en $C(p)$ (cercle osculateur)



- En pratique on peut approcher la courbure par la différence des directions des tangentes en deux points successifs (évite le calcul des dérivées secondes, peu robustes)



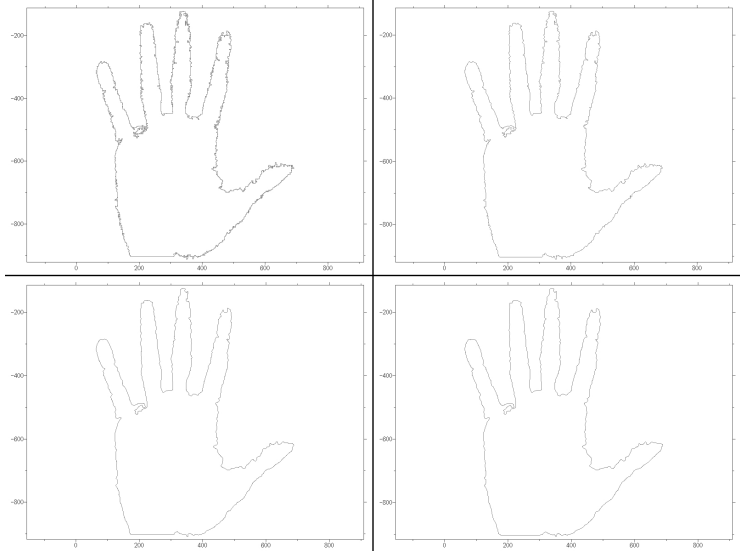
$$k \approx \frac{\theta}{\Delta s}$$



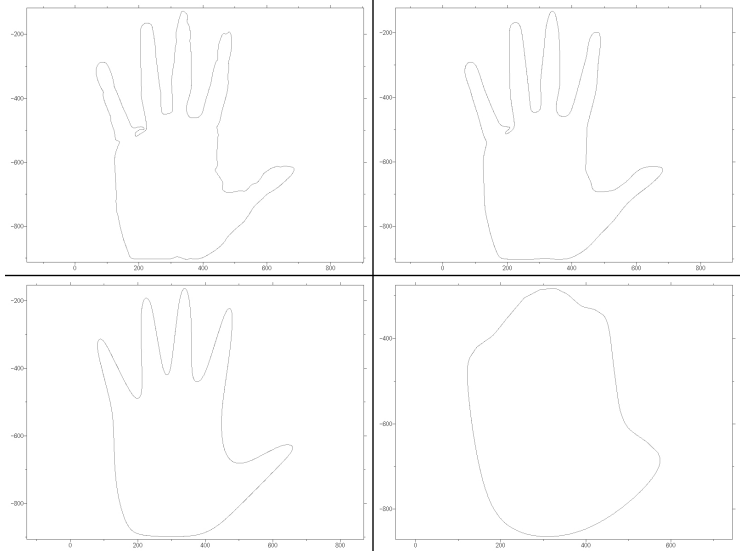
- On veut construire, à partir d'une courbe initiale $C_0 = \begin{pmatrix} x \\ y \end{pmatrix}$, une famille de courbes C_σ de plus en plus régulières (qui comporte de moins en moins de détails).
- Soit $G_\sigma(x) = \frac{1}{\sqrt{(2\pi)\sigma}} \exp(-x^2/2\sigma^2)$ un noyau Gaussien
- On définit

$$C_\sigma = \begin{pmatrix} x * G_\sigma \\ y * G_\sigma \end{pmatrix}$$

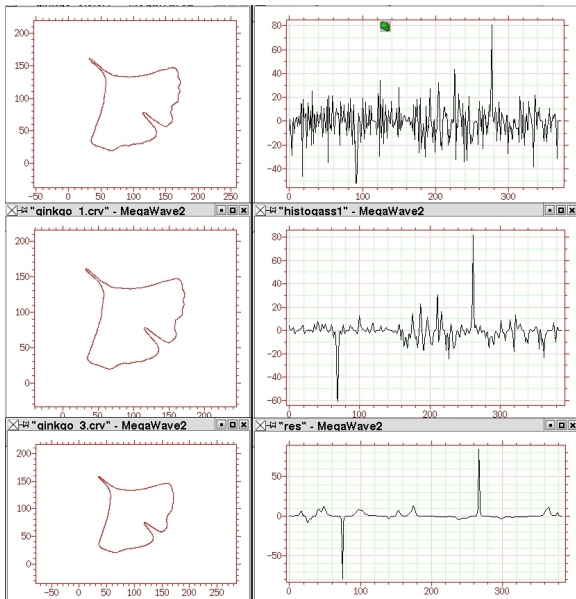
- → espace échelle linéaire (on y reviendra pour le cours sur les points d'intérêt).
- Considérer une courbe C_σ pour un σ suffisamment grand permet d'appliquer des opérateurs différentiels (en particulier la courbure) à la forme.



$$\sigma = 1, 2, 3, 4$$



$\sigma = 5, 10, 30, 100$



La courbure en fonction de l'abscisse curviligne, pour différentes échelles

- L'ensemble des représentation d'une forme à différentes échelles $\{C_\sigma\}_{\sigma \geq 0}$ permet un codage efficace de l'information visuelle
 - Construction du descripteur :
 - Pour chaque valeur de σ on calcule les positions s (abscisse curviligne normalisée entre 0 et 1) de la courbure
 - Chacun de ces passages par zéro correspond à une position $(s, \sigma) \rightarrow$
 - On retient comme descripteurs l'ensemble des (s, σ) pour lesquels σ est maximum
- Pour comparer deux formes, on compare leurs descripteurs après les avoir alignés en s (une translation en s correspond à une rotation de la forme)
- Procédure robuste au bruit / invariante aux translations, rotations, zoom

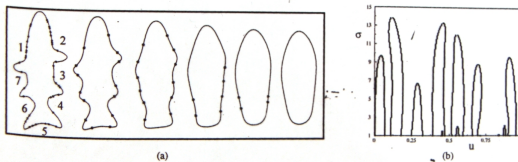
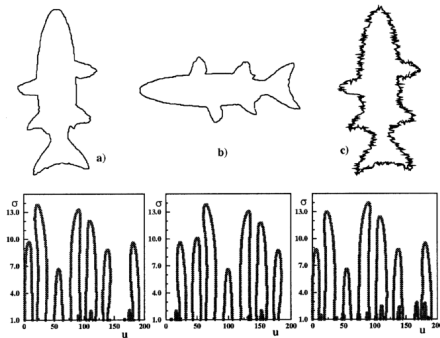
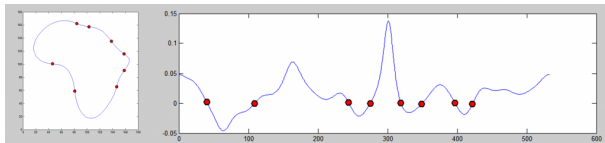
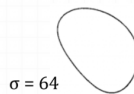
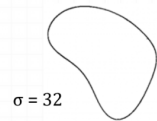
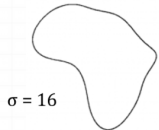
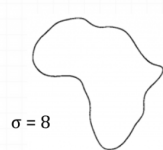
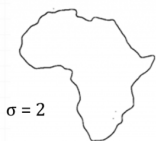


Fig. 1. (a) Shrinkage and smoothing of the curve and decreasing of the number of curvature zero crossings during the evolution, from left: $\sigma = 1, 4, 7, 10, 12, 14$. (b) The CSS image of the shape.



Curvature scale space - CSS (extrait de Mokhtarian et al. 1992 & 1999)



Curvature scale space - CSS (illustration opencv)

Extraction de formes paramétriques : Hough et RANSAC

Transformée de Hough

- Partant de $\{p_1, \dots, p_n\}$ ensemble de points, on cherche des formes paramétrées dans

$$\{F_\theta, \theta \in \Theta\}.$$

- Transformée de Hough :

$$p_i \rightarrow \mathcal{C}_i \subset \Theta,$$

avec

$$\mathcal{C}_i = \{\theta : p_i \in F_\theta\}.$$

- Puis on s'intéresse à

$$\sum_{i=1}^n \mathbf{1}(\mathcal{C}_i),$$

votes des points pour les formes paramétrées.

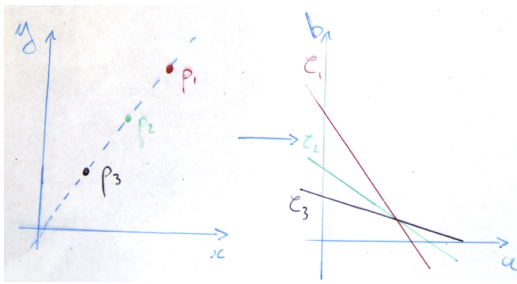
Exemple des droites

$$F_{a,b} : y = ax + b$$

alors si $p_i = (x_i, y_i)$,

$$\mathcal{C}_i = \{(a, b) : b = -x_i a + y_i\}$$

donc point \rightarrow droite dans Θ .



Choix de la paramétrisation (cas des droites)

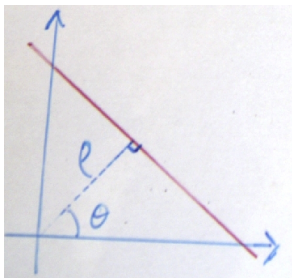
$y = ax + b$ est une mauvaise paramétrisation

- $a, b \in (-\infty, \infty)$
- les variations sur a et b ne correspondent pas à des variations uniformes dans l'espace image

On choisit

$$x \cos(\theta) + y \sin(\theta) = \rho$$

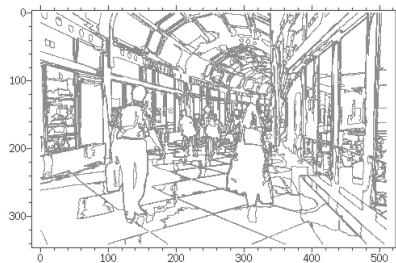
- θ borné , ρ borné pour une image bornée
- $d\theta \rightarrow$ rotation dans le plan image
- $d\rho \rightarrow$ translation dans le plan image



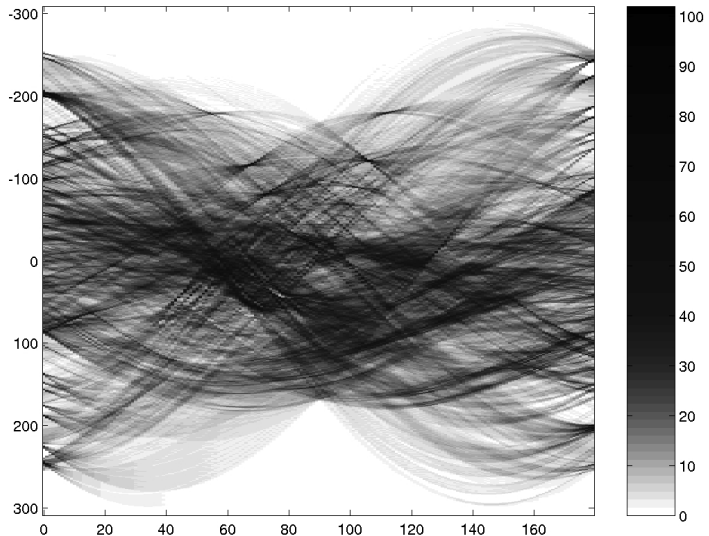
En pratique :

- Les p_i sont des pixels (typiquement des points de contour)
- L'espace Θ est partagé en cellules
- Pour chaque cellule, on compte les courbes l'intersectant
→ problème du choix de la taille des cellules
 - petites : bonne précision sur les paramètres, mais peu de votes
 - grandes : plus de votes, moins de précision

Segmentation initiale



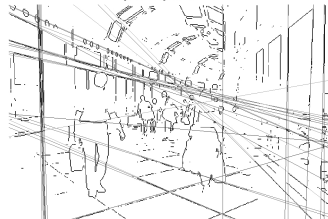
Espace des paramètres



gradient + lignes - seuil =40



gradient + lignes - seuil =60



gradient + lignes - seuil =80



gradient + lignes - seuil =100



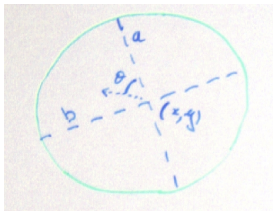
Après post-traitement

Post-traitement : on se restreint aux segments inclus dans l'image des contours et correspondant aux pics de la transformée de Hough



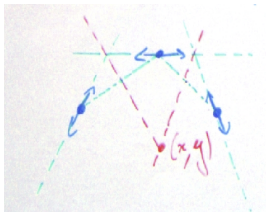
Pics $> 0.3 * \max(Hough)$;
longueur minimum 7 ;
deux segments sont groupés si à une distance inférieure à 5

Hough : exemple des ellipses



5 paramètres : (x, y, a, b, θ)

- Θ est très densément occupé par les C_i
→ on cherche les centres d'abord,
puis les (a, b, θ) correspondant
- Pour trouver les centres, on utilise 3 points et des directions (e.g.
calculées par le gradient)





RAndom SAmple Consensus (Fischler - Bolles 1981)

Le cas des droites

Données : $p_i = (x_i, y_i)$

Initialisation $\Delta = \emptyset, N = 0$

On itère

- p_i, p_j tirés au hasard \rightarrow droite $\Delta_{i,j}$
- $N_{i,j} = \{p_k : d(p_k, \Delta_{i,j}) \leq \epsilon\}$
- si $N_{i,j} > N$: $\Delta = \Delta_{i,j}, N = N_{i,j}$

Utilisation classique : détermination de transformations entre images à partir de correspondances entre descripteurs locaux (cf deuxième partie du cours)

Retour sur la détection de segments : LSD, une alternative gloutonne et efficace

Line Segment Detector (LSD)

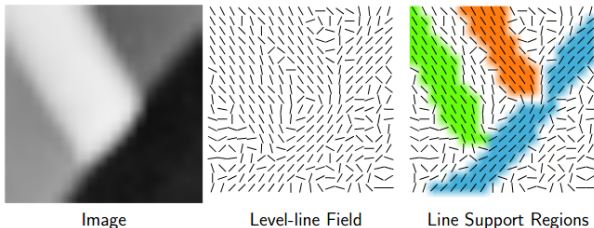
Alternative gloutonne (greedy) et efficace pour la détection de segments de droites

- Calcul de l'orientation en chaque pixel
- Regroupement des orientations proches en composantes connexes
- Approximation des composantes par des rectangles
- Validation des rectangles en fonction du nombre de pixels bien alignés

Von Gioi, R. G., Jakubowicz, J., Morel, J. M., Randall, G. (2008). LSD : A fast line segment detector with a false detection control. *IEEE transactions on pattern analysis and machine intelligence*, 32(4), 722-732

Von Gioi, R. G., Jakubowicz, J., Morel, J. M., Randall, G. (2012). LSD : A line segment detector. *Image Processing On Line*, 2, 35-55.

Line Segment detector



L'orientation du gradient est calculée en chaque pixel.

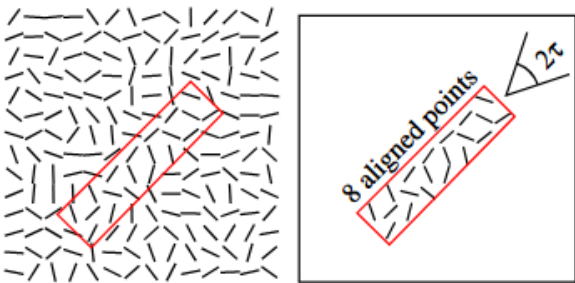
Les composantes connexes de pixels ayant même orientation (à une tolérance près) sont extraites , en commençant par les pixels de plus grande magnitude du gradient

Line Segment detector



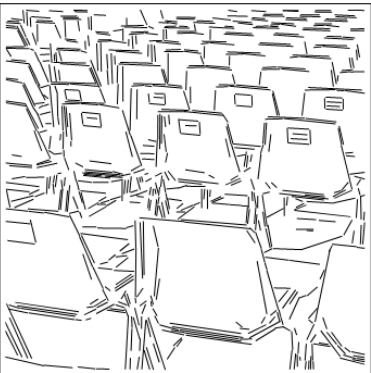
Les régions sont approximées par un rectangle

Line Segment detector



Les régions sont validées par un seuil (automatique, par un critère dit *a contrario*) sur le nombre de point alignés avec l'orientation principale de la région

Line Segment detector



Line Segment detector

